



Разработка и подготовка промышленного освоения технологии ферментного препарата L-фенилаланин-аммоний-лиазы

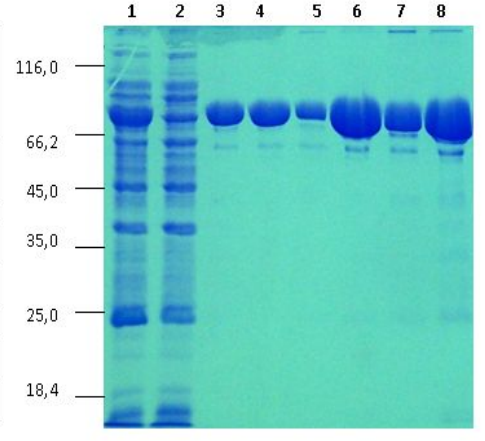
Государственный контракт №02.740.11.5133



Результаты очистки рекомбинантной PAL по оптимизированной схеме

Стадия очи <i>с</i> тки	Экстракт	Осаждение сульфатом аммония (25-50%)	Ni-NTA-сефароза	Гидрофобная хроматография	Гидрофобная хроматография, "хвост"
Удельная активность, Е/мг	0.276	0.822	2.217	3.316	2.228
Активность, Е/мл	2.57	16.60	11.64	12.80	4.10
Белок, мг/мл	9.30	20.20	5.25	3.90	1.80
Объем, мл	110.0	16.5	20.0	13.7	10.5
Суммарная активность, Е	282.7	273.9	232.8	175.4	43.1
Суммарный белок, мг	1023.0	333.0	105.0	52.9	19.3
Выход, %	100	97	85	58	14

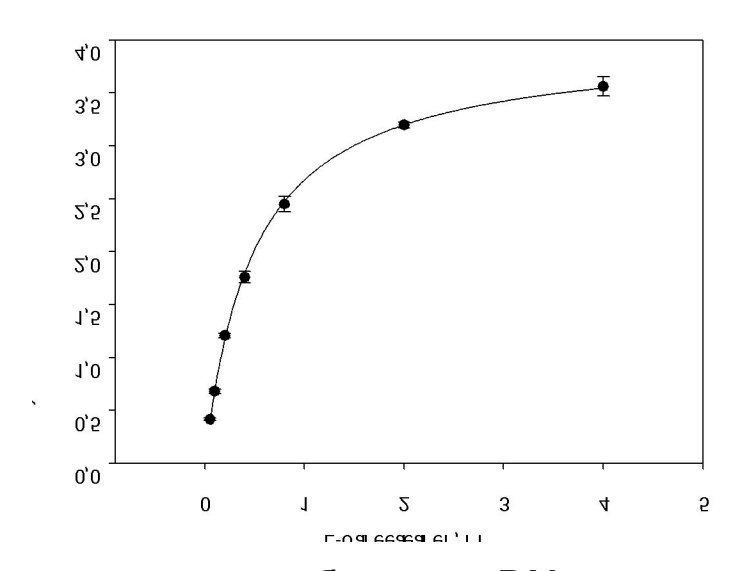
Электрофоретический анализ очистки PAL



1 — препарат перед нанесением на металлохелат после дробного высаливания $(NH_4)_2SO_4$ (25% и 50% насыщения), нанесено 9,5 мкг белка; 2 — проскок после металлохелата; 3 и 8 — препарат после металлохелата (2,85 и 11,4 мкг белка, соответственно); 4 и 6 — объединенные фракции первого пика после фенил-сефарозы (3 и 9 мкг белка, соответственно); 5 и 7 — объединенные фракции второго пика после фенил-сефарозы (1,3 и 4 мкг белка, соответственно). Слева указаны маркеры молекулярных весов в кЛа

Зависимость активности PAL от концентрации L-фенилаланина в реакционной смеси

Концентрация L-фенилаланина, мМ	Специфическая активность PAL, мкмоль·мин ⁻¹ ·мг ⁻¹ белка			
0.05	0.3961	0.4304	0.4266	
0.10	0.6361	0.7161	0.6894	
0.20	1.1732	1.2532	1.1922	
0.40	1.7141	1.8664	1.6950	
0.80	2.3312	2.5826	2.4416	
2.00	3.1730	3.1692	3.2491	
4.00	3.5896	3.7033	3.3911	



Кривая насыщения субстратом PAL, очищенной по оптимизированной схеме